

*Н.В.Дьяченко*

## ГРАВИТАЦИОННО-КАПИЛЛЯРНЫЕ ВОЛНЫ НА НАКЛОННОЙ ПОВЕРХНОСТИ ЖИДКОСТИ

*N.V.Djachenko*

### GRAVITY-CAPILLARY WAVES ON THE RAKING SURFACE OF THE FLUID

*В статье решена граничная задача математической физики о распространении гравитационно-капиллярных волн по наклонной к горизонту поверхности жидкости. Показано, что амплитуда гравитационно-капиллярных волн линейно возрастает со временем, что ведет к их разрушению.*

*Ключевые слова: наклонная поверхность жидкости, силы поверхностного натяжения, потенциальное движение, граничные условия, решение уравнения Лапласа, профиль волны.*

*In paper the mathematical physics boundary problem about extending of gravity-capillary waves on raking to horizon of a surface of a fluid is solved. It is shown that the amplitude of gravity-capillary waves linearly increases in due course that conducts to their breaking down.*

*Key words: a raking surface of a fluid, a surface tension force, potential traffic, boundary conditions, the solution of the equation of the Laplace, a wave contour.*

Наклонная поверхность жидкости образуется под амфибийным судном на воздушной подушке (АСВП), парящим над уровнем моря, за счет избыточного давления, создаваемого воздушными нагнетателями, и представляет собой впадину с горизонтальным дном и наклонными краями (рис.1). В [1] показано, что вдоль склона впадины по направлению к невозмущенной поверхности моря распространяются волны. Разрушение этих волн приводит к образованию облака брызг, окутывающего АСВП и затрудняющего его эксплуатацию. Для определения объемов воды, выбрасываемых в атмосферу, необходимо знать характер роста волнового движения вдоль склона впадины. Ранее было рассмотрено влияние гравитационных сил на форму профиля волны, бегущей вдоль склона впадины. В настоящей работе помимо гравитационных сил учтено также и влияние сил поверхностного натяжения на профиль волнового движения.

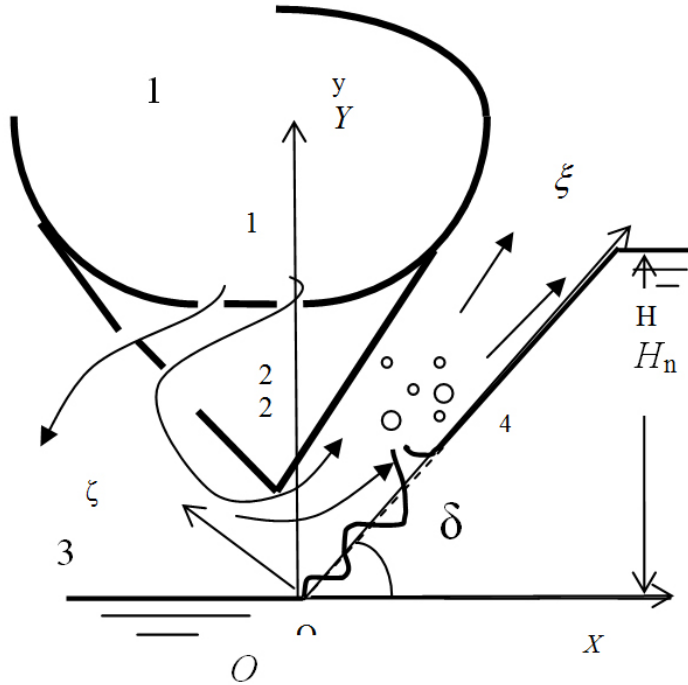


Рис.1. Схема истечения воздуха вдоль склона впадины ВП: 1 – ресивер; 2 – навесной элемент гибкого ограждения ВП; 3 – область ВП;  $H_n$  – глубина впадины ВП;  $\delta$  – угол наклона поверхности к горизонту.

При решении задачи о капиллярных волнах будем исходить из предположения о том, что эти волны малы и не вызывают пульсации давления в струе воздуха над склоном впадины воздушной подушки (ВП). Но вместе с этим учтем дополнительное давление на поверхность жидкости, создаваемое силами поверхностного натяжения, пропорциональными местной кривизне поверхности и величине коэффициента сил поверхностного натяжения  $\sigma$  на границе сред вода – воздух [2]. В этом случае динамическое граничное условие на склоне впадины воздушной подушки принимает вид:

$$\frac{\partial \phi}{\partial t} = g\zeta - \frac{\sigma}{\rho_w} \frac{\partial^2 \zeta}{\partial x^2}. \quad (1)$$

Кинематическое граничное условие выглядит как

$$-\frac{\partial \phi}{\partial y} = -\text{tg}\delta \frac{\partial \phi}{\partial x} + \frac{\partial \zeta}{\partial t}. \quad (2)$$

Эти граничные условия выполняются при  $y = y_c = x \text{ tg}\delta$ . Будем искать решение уравнения Лапласа  $\phi(x, y, t)$  в области  $\Omega$ , расположенной ниже уровня склона впадины ВП (рис.1), [3], удовлетворяющее граничным условиям (1) и (2) и дополнительному условию на глубине  $\phi(x, y, t) \rightarrow \infty$  при  $y \rightarrow -\infty$ .

Простейшее решение уравнения Лапласа, удовлетворяющее условию на глубине, имеет вид:

$$\phi(x, y, t) = B(t) e^{ky} \cos(kx). \quad (3)$$

Выпишем производные потенциала, входящие в кинематическое граничное условие:

$$\frac{\partial \phi}{\partial y} = k B(t) e^{ky} \cos(kx),$$

$$\frac{\partial \phi}{\partial x} = -k B(t) e^{ky} \sin(kx)$$

и подставим эти производные в (2):

$$\frac{\partial \zeta}{\partial t} = -k B(t) e^{ky} \cos(kx) + k B(t) \text{tg} \delta e^{ky} \sin(kx). \quad (4)$$

Введем в рассмотрение первообразную функцию  $A(t) = \int B(t) dt$  и положим  $A(t) = 0$  при  $t = 0$ . Выполним интегрирование по времени обеих частей равенства (4)

$$\zeta = -k A(t) e^{ky} \cos(kx) + k A(t) \text{tg} \delta e^{ky} \sin(kx) + F(x, y). \quad (5)$$

Положим  $\zeta = 0$  при  $t = 0$ . Тогда  $F(x, y) = 0$

$$\zeta = A(t) k e^{ky} [-\cos(kx) + \text{tg} \delta \sin(kx)]. \quad (6)$$

Выполнив дифференцирование (6) и (3), получим:

$$\frac{\partial^2 \zeta}{\partial x^2} = A(t) k^3 e^{ky} [\cos(ky) - \text{tg} \delta \sin(kx)], \quad (7)$$

$$\frac{\partial \phi}{\partial t} = \frac{dB}{dt} e^{ky} \cos(kx) = A''(t) e^{ky} \cos(kx). \quad (8)$$

Подставим производные в динамическое граничное условие, сократим обе части равенства на  $e^{ky}$  и сделаем приведение подобных членов:

$$\left[ A'' + A(t) \left( gk + k^3 \frac{\sigma}{\rho_w} \right) \right] \cos(kx) = \left[ A(t) \text{tg} \delta \left( gk + k^3 \frac{\sigma}{\rho_w} \right) \right] \sin(kx). \quad (9)$$

Для того чтобы равенство (9) выполнялось при любых значениях  $kx$ , необходимо приравнять нулю каждую из скобок перед тригонометрическими функциями:

$$\begin{aligned} A'' + A(t) \left( gk + k^3 \frac{\sigma}{\rho_w} \right) &= 0, \\ A(t) \text{tg} \delta \left( gk + k^3 \frac{\sigma}{\rho_w} \right) &= 0 \end{aligned} \quad (10)$$

Если  $\operatorname{tg}\delta = 0$ , то второе уравнение выполняется всегда, и мы получим решение:

$$A(t) = \cos(\omega t), \quad \omega^2 = gk + k^3 \frac{\sigma}{\rho_w},$$

$$\phi(x, y, t) = C e^{ky} \cos(kx) \cos(\omega t).$$

Это решение соответствует гравитационно-капиллярным волнам, распространяющимся по горизонтальной поверхности жидкости. Но в нашем исследовании нас интересует движение по наклонной поверхности при  $\operatorname{tg}\delta \neq 0$ .  $A(t) = 0$  соответствует не представляющему интереса тривиальному нулевому решению. Следовательно, остается возможным

$$gk + k^3 \frac{\sigma}{\rho_w} = 0. \tag{11}$$

В этом случае  $A''(t) = 0$ , следовательно

$$A'(t) = B(t) = \operatorname{const} = C \quad \text{и} \quad A(t) = Ct.$$

Выражение для описания потенциала принимает вид:

$$\phi = C e^{ky} \cos(kx).$$

Форма профиля склона впадины воздушной подушки:

$$\zeta = Ct e^{kx \operatorname{tg}\delta} k [-\cos(kx) + \operatorname{tg}\delta \sin(kx)]. \tag{12}$$

Из условия (11) следует

$$k = \pm in, \tag{13}$$

где  $n = \sqrt{\frac{g\rho_w}{\sigma}}$ .

Заменим экспоненту с чисто мнимым показателем комплексным числом по формуле Эйлера, а тригонометрические функции с чисто мнимым аргументом гиперболическими функциями. В результате получим два решения:

$$\zeta_1 = Cnt \sin(nx \operatorname{tg}\delta) \operatorname{ch}(nx) [1 - \operatorname{tg}\delta \operatorname{th}(nx)] - iCnt \sin(nx \operatorname{tg}\delta) \operatorname{ch}(nx) [1 - \operatorname{tg}\delta \operatorname{th}(nx)],$$

$$\zeta_2 = Cnt \sin(nx \operatorname{tg}\delta) \operatorname{ch}(nx) [1 + \operatorname{tg}\delta \operatorname{th}(nx)] + iCnt \cos(nx \operatorname{tg}\delta) \operatorname{ch}(nx) [1 + \operatorname{tg}\delta \operatorname{th}(nx)].$$

Поскольку система дифференциальных уравнений [граничные условия (1) и (2)] является линейной, любая линейная комбинация решений  $\zeta_1$  и  $\zeta_2$  также будет являться решением этой системы. Умножив решение  $\zeta_1$  на  $[1 + \operatorname{tg}\delta \operatorname{th}(nx)]$ , а решение  $\zeta_2$  на  $[1 - \operatorname{tg}\delta \operatorname{th}(nx)]$ , получим два комплексно сопряженных решения, сумма которых даст вещественное решение задачи:

$$\zeta = 2Cnt \sin(nx \operatorname{tg} \delta) \operatorname{ch}(nx) [1 - \operatorname{tg}(2\delta) \operatorname{th}(2nx)]. \quad (14)$$

Полученное решение в любой фиксированный момент времени представляет собой синусоиду аргумента  $nxtg\delta$ , амплитуда которой увеличивается с ростом координаты  $x$ , т.е. по мере приближения к свободной поверхности моря за пределами воздушной подушки. В любой точке склона впадины ординаты профиля склона линейно возрастают со временем.

Длина волны  $\lambda$  определяется из условия  $ntg\delta = 2\pi/\lambda$  т.е. длина волны равна  $\lambda = 2\pi / ntg\delta$ . Величина  $n$  близка к 370

$$\left( n = \sqrt{\frac{10 \cdot 1000}{0,074}} \approx 370 \right).$$

Следовательно,  $\lambda = 0,01698 / \operatorname{tg} \delta$ .

С увеличением угла  $\delta$  длина волны уменьшается, волны становятся короче и круче. Зависимость ординат профиля волны от времени свидетельствует о том, что капиллярные волны, так же как и чисто гравитационные волны, быстро возрастают и под действием давления со стороны набегающего потока струи воздуха должны деформироваться и со временем разрушаться.

### Литература

1. *Аносов В.Н.* Исследование процесса брызгообразования и разработка брызгозащитных средств судов на воздушной подушке: Дис. на соискание учен. степени канд. техн. наук. – СПб., 1992. – 123 с.
2. *Динамика океана* / Под ред. Ю.П.Доронина. – Л.: Гидрометеоиздат, 1980. – 303 с.
3. *Дьяченко Н.В.* Волновые движения наклонной поверхности жидкости // Уч. зап. РГГМУ, 2012, № 23, с. 35-40.